

Letzte Aktualisierung der Informationen: März 2025

Produktkonfiguration: 6793.24

6793.24: Leuchte mit diffusem Licht - LED Warm - dimmbare DALI-Versorgungseinheit - 29W 3485.6lm - 3000K - durchsichtig farblos

**Produktcode**

6793.24: Leuchte mit diffusem Licht - LED Warm - dimmbare DALI-Versorgungseinheit - 29W 3485.6lm - 3000K - durchsichtig farblos

Beschreibung

Leuchte mit diffusem Licht, die zur Verwendung von LED-Leuchtmitteln vorgesehen ist. Äußerer Korpus und Endprofile aus Polycarbonat mit UV-Schutzbehandlung, mit geripptem Finish für Blendfreiheit. Mit der mitgelieferten doppelten Kabelverschraubung können Stromkabel mit max. Ø 15,5mm verwendet werden. Befestigung der Profiltteile mit Edelstahl-Clips, werkzeuglose Instandhaltungseingriffe. Komplett mit Durchgangsverkabelung für die Realisierung von Reihen-Installationen

Installation

Horizontale oder vertikale Einzel- oder Doppelanbringung als Hängeleuchte / Oberflächenmontage (Wand und Decke); für die verschiedenen Installationstypen die mitgelieferten, optionalen Sets verwenden.

Farben

Durchsichtig farblos (24)

Gewicht (Kg)

2.95

Montage

Wandanbauleuchte|Deckenanbauleuchte|Pendelleuchte

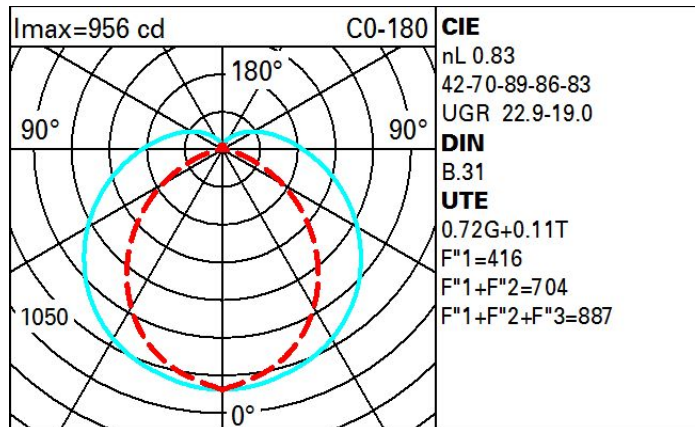
Verkabelung

In die Leuchte eingebaute dimmbare DALI-Versorgungseinheit; Netzanschluss mithilfe Schnellklemmenanschluss

Gemäß der Normen EN60598-1 u. Sondernormen

**Technische Daten**

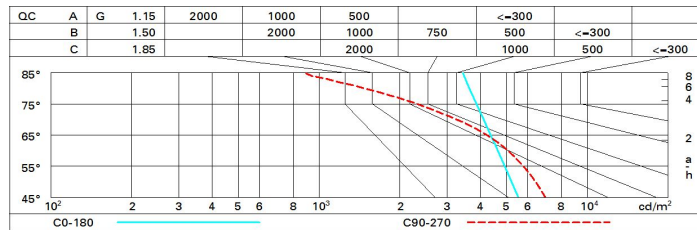
| | | | |
|---|-------|--|-------------------------------|
| Im System: | 3486 | Farbtemperatur [K]: | 3000 |
| W System: | 29 | MacAdam Step: | 3 |
| Im Lichtquelle: | 4200 | Lebensdauer LED 1: | 50,000h - L80 - B10 (Ta 25°C) |
| W Lichtquelle: | 26 | Lampencode: | LED |
| Lichtausbeute (lm/W, Systemwert): | 120.2 | Anzahl Lampen in Leuchtgehäuse: | 1 |
| Im im Notlichtbetrieb: | - | ZVEI-Code: | LED |
| abgegebener Lichtstrom bei/ über einem Winkel von 90° [lm]: | 481 | Anzahl Leuchtgehäuse: | 1 |
| Leuchtenbetriebswirkungsgrad (L.O.R.) [%]: | 83 | Operativer Umgebungstemperaturbereich: | von -20°C von 35°C. |
| CRI (minimum): | 80 | Control: | DALI-2 |

Polardiagramm

Wirkungsgrad

| R | 77 | 75 | 73 | 71 | 55 | 53 | 33 | 00 | DRR |
|------|----|----|----|----|----|----|----|----|-----|
| K0.8 | 50 | 41 | 34 | 30 | 38 | 33 | 31 | 25 | 35 |
| 1.0 | 55 | 46 | 40 | 35 | 44 | 38 | 37 | 30 | 41 |
| 1.5 | 63 | 56 | 50 | 45 | 53 | 48 | 45 | 38 | 53 |
| 2.0 | 68 | 62 | 57 | 52 | 58 | 54 | 51 | 44 | 62 |
| 2.5 | 71 | 66 | 61 | 57 | 62 | 58 | 55 | 48 | 67 |
| 3.0 | 73 | 69 | 64 | 61 | 65 | 61 | 58 | 51 | 72 |
| 4.0 | 76 | 72 | 69 | 66 | 68 | 65 | 62 | 55 | 77 |
| 5.0 | 78 | 74 | 71 | 69 | 70 | 68 | 64 | 58 | 80 |

Söllner-Diagramm



UGR-Diagramm

| Corrected UGR values (at 4200 lm bare lamp luminous flux) | | | | | | | | | | | |
|---|------|------|------|------------------|------|------|------|----------------|------|------|------|
| Reflect.: | | | | | | | | | | | |
| ceiling/cav | | 0.70 | 0.70 | 0.50 | 0.50 | 0.30 | 0.70 | 0.70 | 0.50 | 0.50 | 0.30 |
| walls | | 0.50 | 0.30 | 0.50 | 0.30 | 0.30 | 0.50 | 0.30 | 0.50 | 0.30 | 0.30 |
| work pl. | | 0.20 | 0.20 | 0.20 | 0.20 | 0.20 | 0.20 | 0.20 | 0.20 | 0.20 | 0.20 |
| Room dim | | | | | | | | | | | |
| x | y | | | viewed crosswise | | | | viewed endwise | | | |
| 2H | 2H | 17.5 | 18.0 | 18.1 | 19.1 | 19.7 | 16.1 | 17.1 | 16.6 | 17.7 | 18.2 |
| | 3H | 19.5 | 20.5 | 20.0 | 21.0 | 21.6 | 16.6 | 17.6 | 17.2 | 18.1 | 18.7 |
| | 4H | 20.4 | 21.3 | 21.0 | 21.9 | 22.5 | 16.9 | 17.8 | 17.4 | 18.3 | 19.0 |
| | 6H | 21.3 | 22.2 | 21.9 | 22.7 | 23.4 | 17.0 | 17.9 | 17.6 | 18.4 | 19.1 |
| | 8H | 21.8 | 22.6 | 22.3 | 23.2 | 23.8 | 17.1 | 17.9 | 17.7 | 18.5 | 19.1 |
| | 12H | 22.2 | 23.0 | 22.8 | 23.6 | 24.2 | 17.1 | 17.8 | 17.7 | 18.4 | 19.1 |
| 4H | 2H | 18.0 | 18.9 | 18.6 | 19.5 | 20.1 | 17.2 | 18.1 | 17.7 | 18.6 | 19.3 |
| | 3H | 20.2 | 20.9 | 20.8 | 21.5 | 22.2 | 17.9 | 18.7 | 18.6 | 19.3 | 20.0 |
| | 4H | 21.2 | 21.9 | 21.9 | 22.6 | 23.3 | 18.4 | 19.1 | 19.0 | 19.7 | 20.4 |
| | 6H | 22.3 | 23.0 | 23.0 | 23.6 | 24.3 | 18.8 | 19.5 | 19.5 | 20.1 | 20.8 |
| | 8H | 22.9 | 23.4 | 23.5 | 24.1 | 24.8 | 19.0 | 19.6 | 19.7 | 20.2 | 21.0 |
| | 12H | 23.4 | 23.9 | 24.0 | 24.6 | 25.3 | 19.1 | 19.7 | 19.8 | 20.3 | 21.1 |
| 8H | 4H | 21.5 | 22.0 | 22.1 | 22.7 | 23.4 | 18.6 | 19.2 | 19.3 | 19.8 | 20.6 |
| | 6H | 22.8 | 23.2 | 23.4 | 23.9 | 24.7 | 19.2 | 19.7 | 19.9 | 20.4 | 21.2 |
| | 8H | 23.4 | 23.8 | 24.1 | 24.5 | 25.3 | 19.6 | 20.1 | 20.3 | 20.7 | 21.5 |
| | 12H | 24.1 | 24.5 | 24.8 | 25.2 | 26.0 | 20.0 | 20.4 | 20.7 | 21.1 | 21.9 |
| 12H | 4H | 21.4 | 22.0 | 22.1 | 22.6 | 23.4 | 18.6 | 19.1 | 19.3 | 19.8 | 20.5 |
| | 6H | 22.8 | 23.2 | 23.5 | 23.9 | 24.7 | 19.3 | 19.7 | 20.0 | 20.4 | 21.2 |
| | 8H | 23.5 | 23.9 | 24.2 | 24.6 | 25.4 | 19.7 | 20.1 | 20.4 | 20.8 | 21.6 |
| Variations with the observer position at spacing: | | | | | | | | | | | |
| S = | 1.0H | | 0.1 | / | -0.1 | | | 0.1 | / | -0.1 | |
| | 1.5H | | 0.2 | / | -0.2 | | | 0.2 | / | -0.4 | |
| | 2.0H | | 0.2 | / | -0.3 | | | 0.5 | / | -0.7 | |